

ESTUDIOS SOBRE GEOFILOMORFOS NEOTROPICALES IV. Sobre cuatro especies nuevas del género *Schendylurus* Silvestri, 1907. (Chilopoda: Geophilomorpha: Schendyladae).<sup>1</sup>

LUIS ALBERTO PEREIRA<sup>2</sup>

El género *Schendylurus* Silvestri, tiene amplia distribución en la región Neotropical, estando también presente en áreas del continente africano correspondientes a las regiones Paleártica y Etiópica. Cuenta con 39 especies en la región nombrada en primer término y 6 en las dos últimas. El material aquí presentado corresponde a este género, describiéndose para el mismo cuatro especies nuevas que fueron colectadas en distintas localidades de Argentina, siendo estas *Schendylurus anamariae*, *Schendylurus demangei*, *Schendylurus madariagensis* y *Schendylurus mesopotamicus*.

Se presentan además 3 nuevas combinaciones, las cuales han sido establecidas en base al estudio del material tipo correspondiente, el cual fue cedido gentilmente en préstamo para su estudio, por las instituciones en las que se halla depositado.

Se brinda también una clave para las 7 especies tratadas en la presente contribución, constituyendo las mismas la totalidad de las especies conocidas de este género para la R. Argentina.

*Clave para las especies argentinas del género Schendylurus*

1. Poros faltantes en casi la totalidad de los esternitos de la parte media y posterior del cuerpo . . . . . 2
- Poros presentes en casi la totalidad de los esternitos del cuerpo . . . . . 3
2. Antenas 4,8 a 5,5 veces más largas que la cápsula cefálica, campo de poros presentes del 2° hasta el 16° — 17° esternitos, ausentes en los restantes, (excepto 5-6 últimos esternitos que están frecuentemente provistos de 2-4 poros), ♀ con 51, 53 ó 55 pares de patas y ♂ con 49, 51 ó 53 pares de patas . . . . . *S. anamariae* n.sp.
- Antenas 3,3 veces más largas que la cápsula cefálica, campo de poros presentes de: 2° hasta el 20° esternito, ausentes del 21° al 60° y nuevamente presentes en los esternitos 61° al 63°, ♀ con 65 pares de patas . . . . . *S. demangei* n. sp.

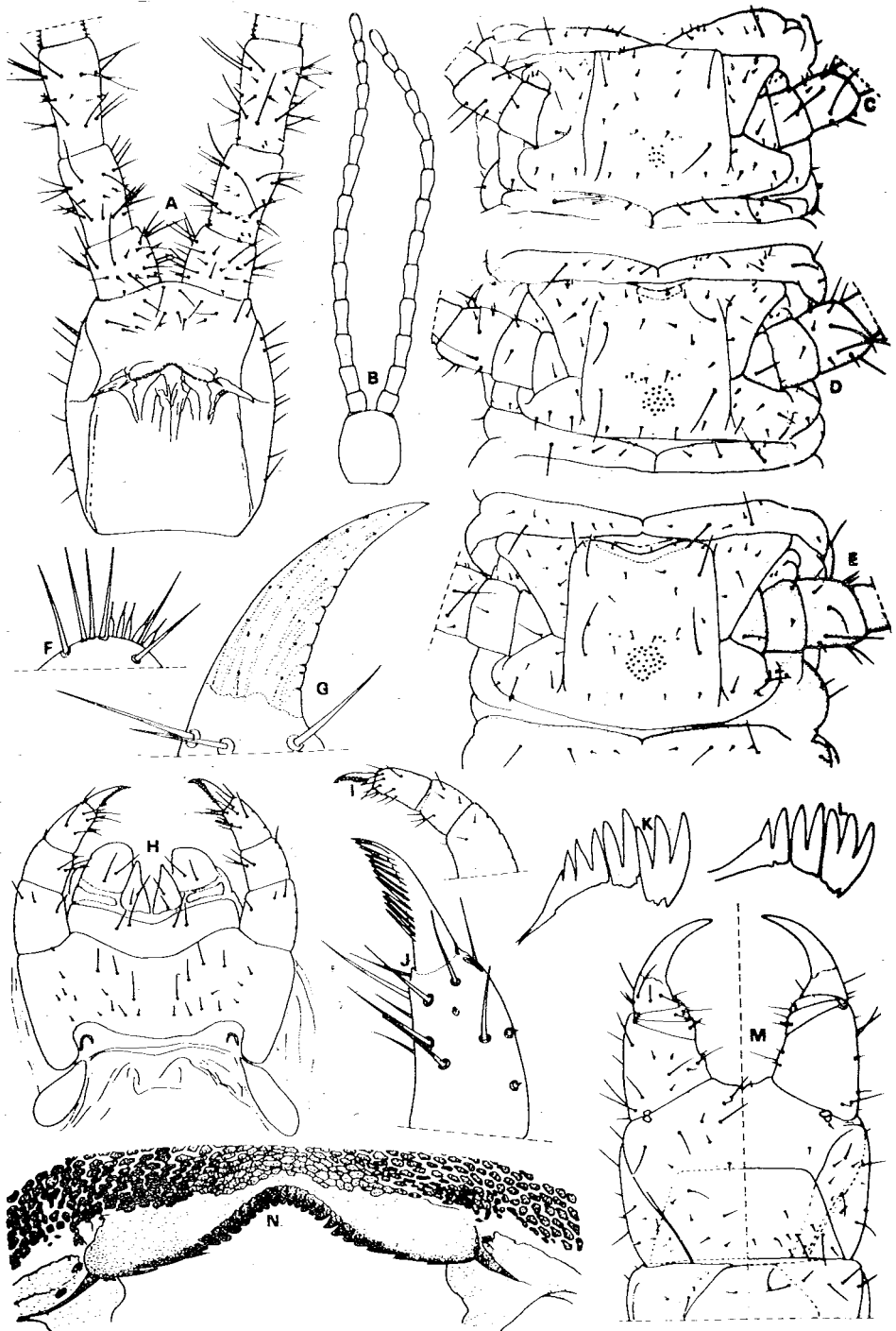
---

1 Contribución científica N° 34 del Centro de Estudios Parasitológicos y de Vectores (CEPAVE).

2 Miembro de la Carrera del Personal de Apoyo a la Investigación y Desarrollo del Consejo Nacional de Investigaciones Científicas y Técnicas Facultad de Ciencias Naturales y Museo de La Plata.

3. Ningún campo de poros dividido, presentes del 2º al penúltimo esternito, ♀ con 43 pares de patas, labro con 13 dientes en el arco central y 5 en cada pieza lateral  
 .. Campo de poros de los esternitos de la parte media del cuerpo, divididos en dos áreas ..... 4  
*S. fieldi* (Chamberlin)
4. Campos de poros presentes del 2º al penúltimo esternito, glándulas coxales anteriores unilobuladas y posteriores bilobuladas, ♂ con 51 y ♀ con 51 ó 53 pares de patas, ♀ con microtriquias a partir del 3º artojo antenal y ♂ con microtriquias a partir del 2º artojo antenal ..... *S. pampeanus* (Pereira y Coscarón)
- Campos de poros presentes a partir del 1º ó 2º al antepenúltimo esternito (raramente pueden existir en el penúltimo esternito muy escasos poros diseminados), glándulas coxales anteriores y posteriores unilobuladas ..... 5
5. Campos de poros presentes del 1º al antepenúltimo esternito, máximo de 38 mm de longitud, glándulas coxales con cavidad interna muy desarrollada y de paredes fuertemente rugosas, ♀ con 59 pares de patas, morfología del último segmento pedal y segmentos postpedales según lámina 9, figuras A y B, ♂ con 55 ó 57 pares de patas, morfología del último segmento pedal y segmentos postpedales según lámina 9, figuras C, D y G ..... *S. mesopotamicus* n. sp.
- Campos de poros presentes del 2º al antepenúltimo esternito (1º esternito raramente provisto de muy escasos poros), máximo de 28 mm de longitud, glándulas coxales con cavidad interna relativamente menos amplia y de paredes algo menos rugosas, ♀ con 45, 47 ó 49 pares de patas y ♂ con 43, 45, 47 ó 49 pares de patas ..... 6
6. Ancho máximo de 1 mm, ♀ con 45 ó 47 y ♂ con 43 ó 45 pares de patas, presencia de "pigmentación" interna en todo lo largo del tronco (excepto en el segmento forcipular), arco central del labro con 11-12 dientes, primer esternito siempre desprovisto totalmente de poros, gonopodos del ♂ con artojo basal de borde redondeado en su parte interna apical, morfología del último segmento pedal y segmentos postpedales de la ♀ según lámina 5, figuras A y B, morfología del último segmento pedal y segmentos postpedales del ♂ según lámina 5, figuras F, G e I ..... ♂ ..... *S. elegantulus* (Meinert)
- Ancho máximo de 0,7 mm, ♀ con 47 ó 49 y ♂ con 45, 47 ó 49 pares de patas, ausencia de "pigmentación" interna en todo lo largo del tronco, arco central del labro con 14 dientes, primer esternito pudiendo presentar raramente muy escasos poros, gonopodos del ♂ con artojo basal de borde aguzado en su parte interna apical, morfología del último segmento pedal y segmentos postpedales de la ♀ de acuerdo a lámina 7, figuras G y H, morfología del último segmento pedal y segmentos postpedales del ♀ de acuerdo a lámina 7, figuras, E, F y J ..... *S. madariagensis* n. sp.

Lámina I. *Schendylurus anamariae* n. sp. ♀; A, vista ventral de la cápsula cefálica y primeros artojos antenales; B, vista dorsal de la cápsula cefálica y antenas (esquemático); C-E, vista ventral de los segmentos 2º, 4º y 11º respectivamente, mostrando la disposición de los poros; F, vista ventral del ápice del último antenito mostrando setas especiales; G, vista ventral, extremo telopodito forcipular derecho; H, vista ventral maxilas I y II; I, vista dorsal telopodito derecho de las maxilas II; J, vista ventral extremo telopodito izquierdo, maxilas II; K y L, larvelas dentadas de las mandíbulas; M, vista ventrodorsal del segmento forcipular; N, labro.



**Schendylurus anamariae** n. sp.*Descripción:*

*Hembra:* largo máximo 28 mm, ancho máximo 0,8 mm, 51, 53 ó 55 pares de patas (número más frecuente 53, holotipo 53).

*Color:* antenas, cápsula cefálica y segmento forcipular ocre, resto del cuerpo amarillento.

*Antenas:* inusualmente largas, teniendo una longitud de 4,8 a 5,5 veces superior al de la cápsula cefálica (lám. 1, fig. B). Artejo basal tan largo como ancho y con convexidad interna, los restantes más largos que anchos y afinándose hacia el ápice, 2º artejo aproximadamente un tercio más largo que el basal, 3º aproximadamente un octavo más largo que el precedente, siguientes artejos hasta el 6º de la misma longitud, a partir de aquí la longitud decrece gradualmente hacia el ápice. Último artejo alrededor de un cuarto más largo que el precedente. Setas bien notorias, de tamaño variable y dispuestas irregularmente en los primeros 7 artejos, restantes con setas gradualmente más cortas y abundantes hacia el ápice (lám. 1, fig. A). Último artejo con setas sensoriales claviformes en los bordes interno y externo del cuarto distal. Extremidad apical con un mechón de setas cortas y simples en número de 7 aproximadamente (lám. 1, fig. F). Artejos 2º, 5º, 9º y 13º dorsal y ventralmente con algunas setas muy pequeñas, cortas y robustas en la base y terminando en una punta fina, estando las dorsales, ubicadas cerca del borde externo del tercio distal y las ventrales cerca del borde interno del mismo. Forma y disposición de la pilosidad de los primeros artejos anteriores de acuerdo a lámina 1, figura A.

*Placa cefálica:* de forma subrectangular, ligeramente más larga que ancha (lám. 1, figs. A y B).

*Placa prebasal:* expuesta en forma variable.

*Clipeo:* con quetotaxia compuesta por 1 + 1 setas postantenas, una franja transversal mediana de 8 + 8 setas y 1 + 1 setas prelabrales (lám. 1, fig. A).

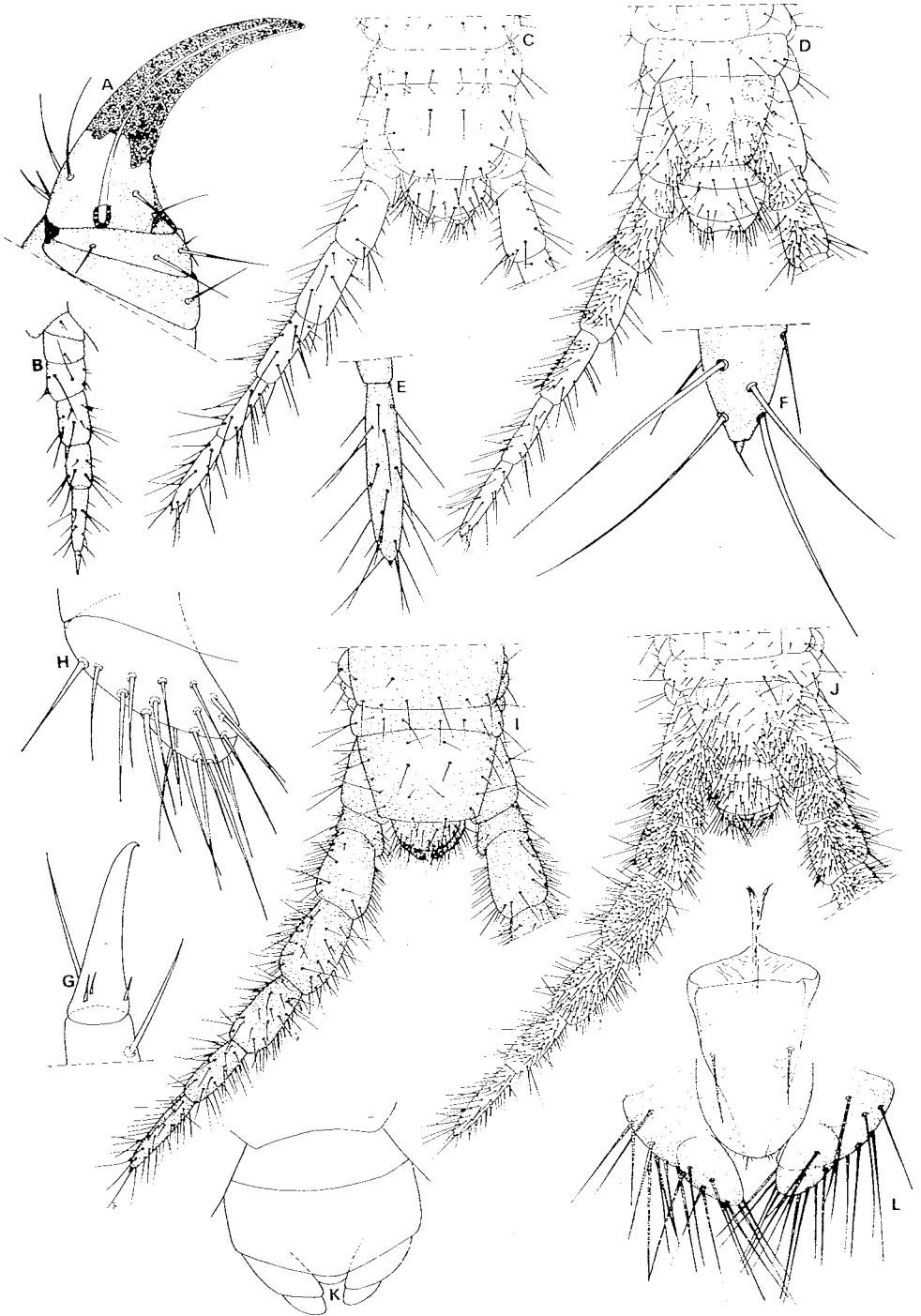
*Labro:* arco medial con 17 a 18 dientes, habiendo a cada lado de éstos 4 a 6 dientes de color más claro y ápice bien aguzado (lám. 1, fig. N). Se aclara que en esta figura, la curvatura del arco central está algo acentuada por el aplastado, siendo en realidad más abierto.

*Mandíbula:* lamela dentada con dentición variable, siendo los casos más frecuentes 3-2-1, 3-2-4, 3-2-3, 3-5, 3-4 (lám. 1, fig. K y L), lamela pectinada con 17 a 20 dientes hialino simples dispuestos en hilera.

*Maxilas I:* con palpos presentes en el coxosternum y telopoditos. Coxosternum con 2 + 2 setas, observándose a veces a parte de éstas, una seta medial próxima al borde posterior, prolongaciones medianas del coxosternum con 2 ó 3 setas, 2º artejo telopodítico con 2-4 setas en su faz externa y 5-6 poros en su cara interna (lám. 1, fig H).

---

Lámina II. *Schendylurus anamariae* n. sp. A-G, ♀ (A, vista ventral, extremo telopodito forcipular derecho; B, vista ventral segunda pata (izquierda); C, vista dorsal, último segmento pedal y segmentos postpedales; D, vista ventral, último segmento pedal y segmentos postpedales; E, vista ventral, metatarso último par de patas (derecha); F, vista ventral, detalle ápice último par de patas (derecha); G, vista ventroposterior, ápice 2º par de patas (derecha)); H-L, ♂ (H, vista ventral, gonopodo derecho; I, vista dorsal, último segmento pedal y segmentos postpedales; J, vista ventral, último segmento pedal y segmentos postpedales; K, vista ventral, segmentos postpedales (esquemático); L, vista dorsal del pene y gonopodos).



*Maxilas II:* coxosternum con alrededor de 25 setas dispuestas según lámina 1, figura H, garra apical del telopodito con un peine dorsal de 13 a 14 dientes y ventral de 11 a 12 dientes (lám. 1, fig. J). Forma, tamaño relativo y quetotaxia de los artejos del telopodito según lámina 1, figuras H e I.

*Segmento forcipular:* placa basal con 8-9 setas dispuestas en una hilera transversal y otras más pequeñas diseminadas en el resto de su superficie, coxosternum sin líneas quitinosas, telopoditos con todos sus artejos inermes, garra apical con arista ventral simulando una leve serrulación (lám. 1, fig. G), cáliz de la glándula del veneno subcircular (lám. 2, fig. A). Forma y quetotaxia del segmento forcipular según lámina 1, figuras G, M y lámina 2, figura A.

*Tergitos:* bisurcados, presentando algunas setas dispuestas en los surcos y otras diseminadas en el resto de la superficie.

*Pretergitos:* con una hilera de 6 setas implantadas en una línea media transversal.

*Patás:* con forma, quetotaxia y tamaño relativo de los artejos de acuerdo a lámina 2, figura B.

*Esternitos:* 3° al 17° presentando en su borde anterior una pequeña hendidura medial acompañada internamente por un engrosamiento quitinoso (lám. 1, figs. D y E).

Poros presentes del 2° al 16° - 17° esternitos, dispuestos en un área central subcircular, acompañada anteriormente por un grupo de 2 ó 3 poros a cada lado de la misma; esternitos 18° - 19° sin poros persistiendo en algunos casos los dos grupos de poros que acompañan el área principal que está ausente en los mismos; últimos 5-6 esternitos frecuentemente provistos de 2-4 poros dispersos cerca del borde posterior, restantes esternitos desprovistos totalmente de poros. El número de poros se incrementa gradualmente hasta el 11° esternito y luego decrece paulatinamente hasta el esternito 16°. En una hembra de 53 pares de patas algunos de los guarismos observados fueron los siguientes: 2° esternito: 15 poros, 4°: 27, 11°: 39 y 16°: 11. Quetotaxia y disposición de los poros de los esternitos de acuerdo a lámina 1, figuras C, D y E.

*Ultimo segmento pedal:* pretergito con sutura visible entre sus pleuritos, preesternito semejante a los anteriores. Tergito y esternito trapezoidales, con base anterior más ancha que la longitud mediana. Borde distal del tergito presentando débil convexidad, borde posterior del esternito con débil concavidad. Disposición de la quetotaxia del tergito y esternito de acuerdo a lámina 2, figuras C y D. Coxopleuras sin elevación en el borde ventroapical, ventralmente con abundantes setas de tamaño reducido en el área apical interna, menor cantidad en el resto. Cada coxopleura con dos poros encubiertos por el esternito que dan salida a las glándulas homogéneas (lám. 2, fig. D). Última pata de 7 artejos, siendo el metatarso más largo que el tarso (lám. 2, fig. E), pretarso a manera de un pequeño tubérculo del cual sale una pequeña seta inclinada (lám. 2, fig. F). Quetotaxia de los artejos según lámina 2, figuras C y D.

*Segmentos postpedales:* esternitos del segmento intermediario y genital I de borde posterior debilmente convexo. Gonopodos unarticulados, chatos, relativamente anchos y escotados en la línea media (lám. 2, fig. D).

*Macho:* largo máximo 24 mm, 49-51 ó 53 pares de patas (número más frecuente 51, alotipo con igual número). Coloración similar a la hembra. Las diferencias morfológicas con la misma, se observan a nivel del último segmento pedal y segmentos postpedales.

Ultimo segmento pedal: esternito con pilosidad más abundante que en la hembra y de borde posterior más reducido. Las coxopleuras son proporcionalmente más amplias que en la hembra y provistas de setas más abundantes en el área apical interna, patas terminales con artejos anchos y de pilosidad abundante en la faz ventral, dorsalmente con setas más grandes y menos numerosas (lám. 2, figs. J e I).

*Segmentos postpedales:* esternitos del segmento intermediario y genital I de borde

posterior convexo (lám. 2, figs. J e I), gonopodos biarticulados, terminales, con artejo basal internamente alargado y artejo apical de ápice redondeado (lám. 2, fig. H).

Pene dorsalmente con 1+1 ó 2+2 setas ubicadas en la mitad distal (lám. 2, fig. L).

*Material examinado:* holotipo ♀ y alotipo ♂ de Concordia, Prov. de Entre Ríos, 26-I-1976, Col. L.A. Pereira (MLP), 1 paratipo ♀ de 53 pares de patas, idem, (USNM); 1 paratipo ♂ de 51 pares de patas, idem, (USNM); 1 paratipo ♀ de 53 pares de patas, idem, (MNHN); 1 paratipo ♂ de 51 pares de patas, idem, (MNHN); 22 paratipos ♀♀ (7 de 51, 14 de 53 y 1 de 55 pares de patas), idem, (MLP); 19 paratipos ♂♂ (1 de 49, 15 de 51 y 3 de 53 pares de patas), idem, (MLP).

*Observaciones:* Se hace notar que el mayor grosor de los artejos del último par de patas del macho, acompañadas de pilosidad más abundante, es una característica de dimorfismo sexual. Esta especie se diferencia fácilmente de las del resto, por presentar antenas muy largas en relación a la longitud de la cápsula cefálica.

### *Schendylurus damagei* n. sp.

#### *Descripción:*

*Holotipo hembra:* largo 29 mm, ancho 0,5 mm, 65 pares de patas.

*Forma del cuerpo:* tercio anterior algo más fino que el resto del tronco.

*Color:* amarillento, siendo la cápsula cefálica, antenas y segmento forcipular de una tonalidad algo más oscura.

*Antenas:* aproximadamente 3,3 veces más largas que la cápsula cefálica. Artejo basal escasamente más largo que ancho y con convexidad interna, los restantes notoriamente más largos que anchos y afinándose hacia el ápice. Quetotaxia representada por setas de regular tamaño dispuestas en los primeros 6 artejos, restantes provistos de setas más pequeñas y numerosas. Último artejo con setas sensoriales claviformes en los bordes interno y externo del tercio distal. Extremidad apical con un mechón de alrededor de 4 setas muy pequeñas y trirramosas. Artejos 2º, 5º, 9º y 13º provistos distalmente en las faces ventral y dorsal de 1-2 setas similares.

*Placa cefálica:* de forma subrectangular, siendo algo más larga que ancha.

*Placa prebasal:* escasamente expuesta.

*Clípeo:* quetotaxia compuesta por 1 + 1 setas postantennales, 7 + 6 setas dispuestas medialmente y 1 + 1 setas prelabrales (lám. 3, fig. B).

*Labro:* arco central constituido por 11 dientes, piezas laterales con 3 + 3 dientes de ápice agudo (lám. 3, fig. A).

*Mandíbula:* lamela dentada dividida en 2 piezas con dentición 4-7 y 3-7 (lám. 3, figs. D y E).

*Maxilas I:* coxosternum con 2 + 2 setas, presentando palpos bien desarrollados los cuales sobrepasan el 1º artejo telopodítico, prolongaciones medianas con 1+1 setas. Telopoditos biarticulados y provistos de palpos, llevando el 2º artejo 2 + 2 setas en su cara externa y 4 + 4 poros en la interna (lám. 3, fig. L).

*Maxilas II:* coxosternum provisto de 8 + 7 setas distribuidas según lámina 3, figura L. Garra apical del telopodito con un peine dorsal y ventral de 10-12 dientes (lám. 3, figs. M y N). Forma y pilosidad de los artejos del telopodito según lámina 3, figura L.

*Segmento forcipular:* placa basal con una línea transversal de 13 setas, habiendo otras setas muy pequeñas distribuidas a lo largo del borde posterior. Coxosternum con setas de tamaño variable distribuidas según lámina 3, figura C. Telopoditos con todos sus artejos inermes, cáliz de la glándula del veneno, corto y de tipo cilíndrico (lám. 3, figs. H e I).

*Tergitos:* bisurcados, llevando setas de tamaño variable y número reducido.

*Pretergitos:* los de la región anterior del cuerpo con una hilera irregular de 7 setas implantadas transversalmente, pretergitos de la región posterior con una hilera de 5 setas

algo más grandes que las de los pretergitos anteriores.

*Patas*: uña terminal bien curvada distalmente, presentando ventralmente en su base una seta anterior y otra posterior, estando esta última acompañada internamente por una seta mucho más pequeña.

*Esternitos*: borde anterior de los esternitos 3° al 13° con una escotadura poco profunda, acompañada internamente por un engrosamiento quitinoso. Poros presentes del 2° al 20° esternito, ausentes del 21° al 60° y nuevamente presentes del 61° al 63°, penúltimo esternito sin poros. Estos se distribuyen en un área principal subcircular acompañada anteriormente a cada lado por un poro o un grupo de 2-5 poros. El número de poros observado en algunos esternitos fue el siguiente: 2° esternito: 9 poros en el área principal y 1 + 1 anteriormente a la misma, 3°: 18 y 3 + 3 poros, 7°: 22 y 2 + 2 poros, 9°: 24 y 5 + 4 poros, 20°: 2 poros, 63°: 12 y 0 + 2 poros. Quetotaxia de los esternitos y forma y tamaño relativo de las áreas de poros, de acuerdo a lámina 3, figuras J y K.

*Ultimo segmento pedal*: pretergito con sutura visible entre sus pleuritos y provisto de una hilera transversal de 5 setas, preesternito no dividido al medio y llevando una hilera de 7 setas. Tergito y esternito trapezoidales con base anterior más ancha que la longitud mediana. Borde distal del tergito convexo, borde distal del esternito con suave concavidad en el centro. Disposición de la quetotaxia del esternito de acuerdo a lámina 3, figura F.

Coxopleuras de aspecto ligeramente inflado, quetotaxia representada por abundantes setas de tamaño reducido, distribuidas en el área apical interna y otras de mayor tamaño distribuidas en el resto de su superficie. Cada coxopleura con un par de orificios glandulares, encubiertos en parte por el esternito, los cuales dan salida a las glándulas homogéneas (lám. 3, fig. F).

Patas terminales de 7 artejos, llevando setas más abundantes en la cara ventral que en la dorsal (lám. 3, figs. F y G).

*Segmentos postpedales*: esternito del segmento intermediario de borde posterior recto, esternito del segmento genital I de borde posterior convexo, gonopodos uniarticulados y escotados en la línea media (lám. 3, fig. F).

El autor de la presente dedica afectuosamente esta especie al Dr. J. M. Demange del Museum d'Histoire Naturelle de París, como signo de reconocimiento por todas las enseñanzas recibidas durante los años de estadía en su laboratorio.

*Material examinado*: Chubut: Puerto Lobos, 26-I-1975, Col. E. Maury: holotipo ♀.

*Observaciones*: Esta especie se caracteriza principalmente por su elevado número de pares de patas, siendo la más austral de las especies conocidas hasta el presente, para el género *Schendylurus*.

#### *Schendylurus elegantulus* (Meinert) comb.nov.

1886. *Geophilus elegantulus* Meinert, *Vidensk. Meddel. Naturh. Foren., Kjöbenhavn*: 145.

1903. *Geophilus elegantulus* Attems, *Zool. Jahrb. Syst.* 18: 265.

1929. *Geophilus elegantulus* Attems, *Das Tierreich*, Lief. 52: 323.

1980. *Schendylurus varelensis* Pereira, Tesis (inédita), Univ. Nac. La Plata, *Fac. Cienc. Nat. y Museo*, N°: 387: 155-159, figs. 61 A-C, 62 A-C, 62 A-K y 63 A-H.

En su monografía de 1929, Attems incluye a esta especie en la lista de *Species inquirendae*. Gracias a la amabilidad del Dr. H. Enghoff del Zoologisk Museum de Kjöbenhavn, se tuvo la oportunidad de revisar el material tipo de la misma, constituido por el Lectotipo ♀ y un paratipo ♀ designados por R. E. Crabill, Jr. el 21-IV-1960.



Todos los caracteres de esta especie corresponden al género *Schendylurus*, por lo cual se la ubica en el mismo, estableciéndose la nueva combinación correspondiente.

*Schendylurus varelensis* concuerda bien con *Schendylurus elegantulus* (Meinert), razón por lo cual es aquí sinonimizada.

Debido a lo breve e inadecuado de la descripción original de Meinert, la cual carece además totalmente de ilustraciones, se brinda aquí su redesccripción.

*Redescrípción:*

*Hembra:* largo máximo 27,5 mm, ancho máximo 1 mm. Número de segmentos pedales 45 ó 47 (número más frecuente 45).

*Forma del cuerpo:* tercio medio ligeramente más ancho que el resto del tronco.

*Color:* placa cefálica, antenas y segmento forcipular, ocre anaranjado, resto del tronco amarillento. Cabe destacar que por transparencia, pueden observarse internamente gran cantidad de microscópicos gránulos de coloración pardo oscura, ubicados a todo lo largo del tronco y dispuestos de la manera indicada en la lámina 4, figuras H e I, los cuales semejan a una pigmentación interna (levaduras simbiotes?).

*Antenas:* aproximadamente 3,5 veces más largas que la placa cefálica. Artejo basal aproximadamente tan largo como ancho y con convexidad interna, los restantes más largos que anchos y afinándose hacia el ápice. Setas bien notorias y de tamaño variable dispersas irregularmente en los primeros 4 artejos basales (lám. 4, Fig.E), en los restantes, setas cortas cubriendo uniformemente la superficie, excepto bordes basal y apical. Último artejo con setas sensoriales claviformes en los bordes interno y externo del cuarto dital. Extremidad apical con un mechón de alrededor de 6 setas muy pequeñas y triramosas. Artejos 2°, 5°, 9° y 13° provistos distalmente en la cara ventral y dorsal de algunas setas muy pequeñas, simples o bífidas.

*Placa cefálica:* de forma subrectangular, ligeramente más larga que ancha (lám. 4, fig. E).

*Placa prebasal:* expuesta en forma variable, desde un quinto de su longitud, hasta las cuatro quintas partes.

*Clípeo:* Quetotaxia compuesta por 1 + 1 setas postantenas, una franja media transversal de aproximadamente 10 + 10 setas y 2 setas prelabrales (lám. 4, fig. E).

*Labro:* arco central con 10-12 dientes robustos y romos, piezas laterales llevando cada una 3 a 5 dientes de ápice agudo (lám. 4, fig. A).

*Mandíbula:* lamela dentada dividida en 3 piezas con dentición variable, pudiéndose presentar los siguientes casos: 3-2-6, 3-2-7, 3-3-4 (lám. 4, figs. B y C).

*Maxilas I:* con coxosternum provisto de 2 + 2 ó 2 + 3 setas paramedianas, palpos gruesos en la base y terminando en punta, llegando hasta el extremo del 1° artejo telopodítico. Prolongaciones medianas subtriangulares, con el borde interno basal bien esclerotizado, tercio apical membranoso, cara externa llevando 1 a 2 setas. Telopoditos biarticulados y provistos de palpos, sobrepasando estos la parte media del 2° artejo telopodítico, llevando este último 3-4 setas en su cara ventral, siendo la mitad distal membranosa y de borde apical redondeado (lám. 4, fig. L).

*Maxilas II:* coxosternum provisto de alrededor de 8 + 8 setas distribuidas según lámina 4, figura L.

Garra apical del telopodito robusta, curvada internamente, llevando un poro subapical en la faz ventral y un peine dorsal y ventral de dientes en número de 15 aproximadamente (lám. 4, fig. D).

Forma y pilosidad de los artejos del telopodito según lámina 4, figura L.

*Segmento forcipular:* placa basal con quetotaxia compuesta por alrededor de 9 setas distribuidas en una línea media transversal y otras más pequeñas ubicadas cerca del borde posterior. Coxosternum desprovisto de líneas quitinosas y llevando alrededor de 50 setas de tamaño variable distribuidas según lámina 4, figura F. Telopoditos cerrados no exceden el margen anterior de la placa cefálica, siendo todos sus artejos inermes. Glándula del veneno con cáliz corto y cilíndrico (lám. 4, fig. G).

*Tergitos*: son bisurcados, llevando setas de tamaño variable dispuestas en los surcos y resto de la superficie.

*Pretergitos*: con una hilera irregular de setas de tamaño variable, en número de 10 a 12 implantadas transversalmente, siendo algo menos numerosas en los segmentos de la región anterior del tronco.

*Patas*: uña terminal con curvatura bien marcada, presentando ventralmente en su base una seta anterior y otra posterior del mismo tamaño, estando esta última acompañada internamente por una seta notoriamente más pequeña.

*Esternitos*: poros presentes desde el 2° al antepenúltimo esternito, pudiendo haber raramente 1 ó 2 poros en el penúltimo esternito. Las áreas son simples del 2° al 17° - 18°, dobles del 18° - 19° al 38° - 41°, esternitos restantes con áreas simples.

El tamaño de las áreas simples de la región anterior del tronco, aumenta gradualmente del 2° al 8° esternito, siendo en este último aproximadamente el doble que la del 2°, luego se mantiene casi constante hasta el 15°. Áreas dobles disminuyen progresivamente de tamaño del segmento 17° - 18° al 30°, a partir de este último se mantiene constante hasta el 39°, siendo aquí 2 veces más pequeña que la del 18°. En una hembra de 47 pares de patas, los campos de poros presentaron los siguientes guarismos: 2° esternito: 45 poros, 10°: 114, 18°: 74, 37°: 22, 41°: 35.

Quetotaxia de los esternitos y forma y tamaño relativo de las áreas de poros, según lámina 4, figuras J y J.

*Ultimo segmento pedal*: pretergito con sutura visible entre sus pleuritos, preesternito semejante al precedente. Tergito y esternito trapezoidales, con base anterior más ancha que la longitud mediana. Borde distal del tergito presentando suave curvatura externa, esternito con suave concavidad en el centro. Disposición de la quetotaxia del esternito y tergito de acuerdo a lámina 5, figuras A y B respectivamente. Coxopleuras de aspecto ligeramente inflado, quetotaxia representada por abundantes setas de tamaño reducido, distribuidas en el área apical interna y otras de mayor tamaño dispersas en el resto de la superficie. Cada coxopleura con un par de orificios glandulares, encubiertos por el esternito, los cuales dan salida a las glándulas homogéneas (lám. 5, fig. A). Patas terminales de 7 artejos, llevando el último un minúsculo tubérculo apical provisto de una pequeña seta (lám. 5, fig. C). Forma, tamaño relativo y quetotaxia de los artejos según lámina 5, figuras A y B.

*Segmentos postpedales*: esternitos del segmento intermediario y genital I con borde posterior presentando débil convexidad, gonopodos uniarticulados, chatos, relativamente anchos y escotados en la línea media (lám. 5, fig. D). Segmento genital II y valvas anales con bordes redondeados.

*Macho*: largo máximo 23,5 mm, 43 ó 45 segmentos pedales (número más frecuente 43), coloración similar a la hembra, ancho del cuerpo algo menor que la misma.

Las diferencias morfológicas con la hembra, se observan a nivel del último segmento pedal y segmentos postpedales. En el último segmento pedal, las setas pequeñas ubicadas en el borde apical interno de las coxopleuras y posterior del esternito son relativamente más numerosas que en la hembra, siendo las patas terminales de artejos más anchos y pilosos que en la misma, llevando ventralmente pelos cortos y numerosos en el prefémur, fémur y tibia (lám. 5, figs. F y G). Esternitos del segmento intermediario y genital I con borde posterior convexo (lám. 5, fig. I). Gonopodos biarticulados, terminales y escasamente separados del cuerpo, siendo el artejo apical de ápice redondeado (lám. 5, fig. H). Pene dorsalmente con un grupo de 3 + 3 setas ubicadas en la mitad distal (lám. 5, fig. J).

Se hace notar que la presencia de pelos cortos, en la cara ventral del prefémur, fémur y tibia del último par de patas en el macho y la ausencia de estos en la hembra, como así también el mayor grosor de estos artejos en el macho, son caracteres de dimorfismo sexual.

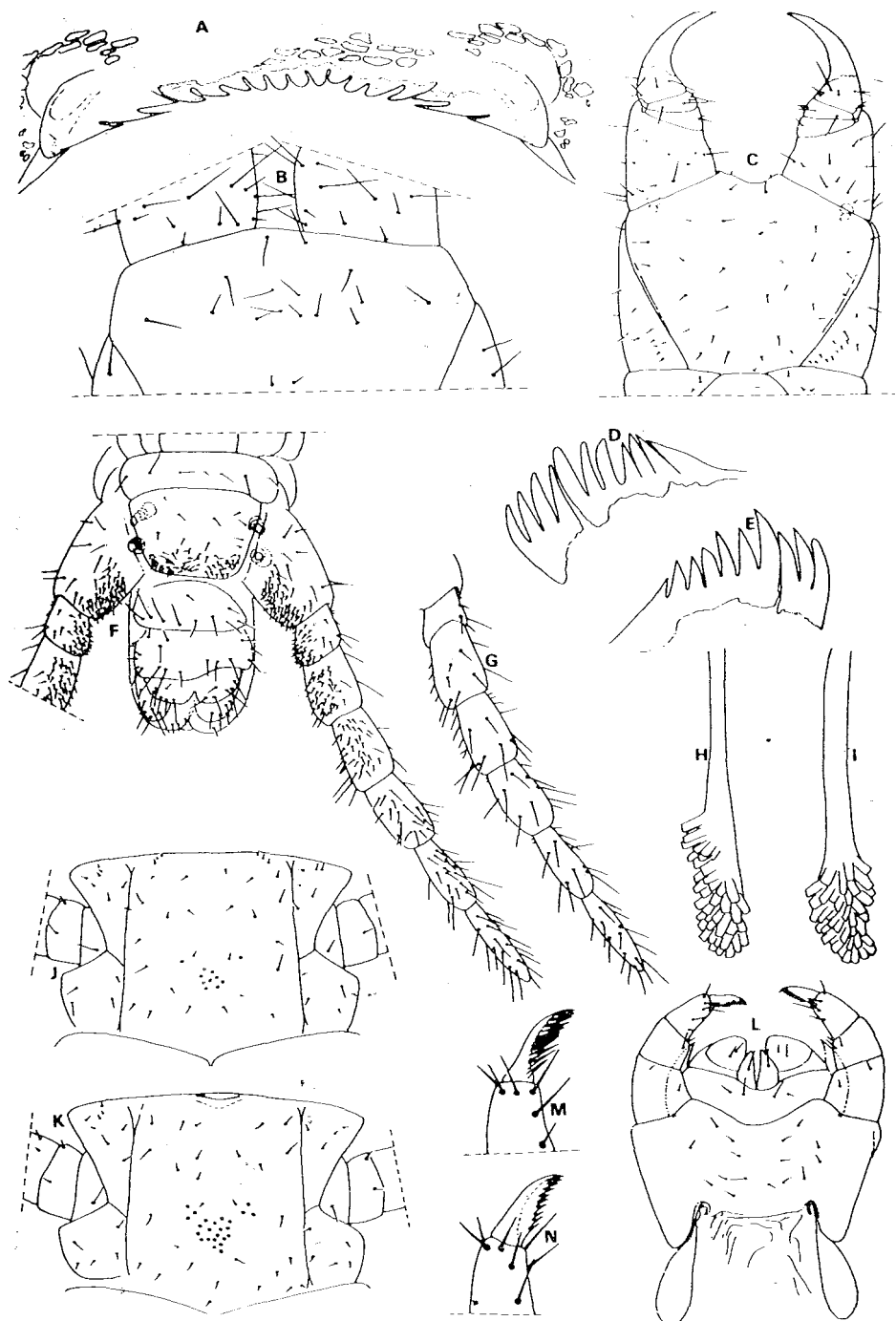


Lámina III. *Schendylurus demangei* n. sp. Holotipo ♀ A, labro; B, clipeo; C, vista ventral del segmento forcipular; D y E, lamela dentada de las mandíbulas; F, vista ventral, último segmento pedal y segmentos postpedales; G, vista dorsal última pata derecha; H e I, cáliz de la glándula del veneno (derecha e izquierda respectivamente); J y K, vista ventral de los segmentos 2º y 3º respectivamente, mostrando la disposición de los poros; L, vista ventral de las maxilas I y II; M, vista dorsal, extremo apical del telopodito izquierdo, maxilas II; N, vista ventral, extremo apical del telopodito derecho, maxilas II.

*Material examinado:* Riacho del Oro, Col. Sörensen: Lectotipo ♀ (Ref. *Geophilus elegantulus* Mein.), ejemplar de 25 mm de longitud y 45 pares de patas, representado por una preparación microscópica conteniendo la cápsula cefálica, piezas bucales y 10 últimos segmentos pedales, estando el resto del ejemplar conservado en un tubo con alcohol (ZMK), paratipo ♀ (Ref. *Geophilus elegantulus* Mein.), ejemplar de 18 mm de longitud y 45 pares de patas conservado en un tubo con alcohol (ZMK). Buenos Aires: Bosques, Florencio Varela, 1-VII-1973, Col. L.A. Pereira: 13 ♀♀ (10 de 45 y 3 de 47 pares de patas), (MLP); 13 ♂♂ (10 de 43 y 3 de 45 pares de patas), (MLP); 1 ♀ y 1 ♂ de 45 pares de patas, referidos como paratipos de *Schendylurus varellensis* n. sp., idem, (USNM); Bosques, Florencio Varela, 24-VI-1972, Col. L.A. Pereira: 4 ♀♀ de 45 pares de patas y 2 ♂♂ (1 de 43 y otro de 45 pares de patas), (MLP); Sierra de La Ventana, 30-IX-1975, Col. L.A. Pereira: 1 ♀ de 47 pares de patas, (MLP); La Plata, 6-VIII-1981, Col. G. Luna: 1 ♀ de 45 pares de patas, (MLP).

*Observaciones:* Se hace notar que la localidad tipo de esta especie, dada por Meinert como "Riacho del Oro", corresponde en realidad a Río de Oro, la cual está ubicada en el Chaco, correspondiéndole aproximadamente los 27° de latitud S y 58° 30' de longitud W.

La especie más próxima a *Schendylurus elegantulus* (Meinert), es *Schendylurus madariagensis* n. sp., diferenciándose de la misma de la manera explicada en la clave.

Cabe destacar además, que las patas terminales de la hembra de *Schendylurus elegantulus* son algo más finas que las de la hembra de *Schendylurus madariagensis*, llevando además la primera de ellas, poros relativamente más numerosos en las últimas áreas dobles de los esternitos de la mitad posterior del cuerpo, pudiendo inclusive en el macho de *Schendylurus madariagensis*, llegar a faltar totalmente los poros en algunos de los esternitos nombrados.

#### *Schendylurus fieldi* (Chamberlin) comb. nov.

1944. *Pectiniunguis fieldi* Chamberlin, *Field Mus. Nat. Hist. Zool. Ser.* 28 (4): 187.

1975-1976. *Pectiniunguis fieldi* Pereira y Coscarón, *Rev. Soc. Ent. Arg.* 35 (1/4): 72.

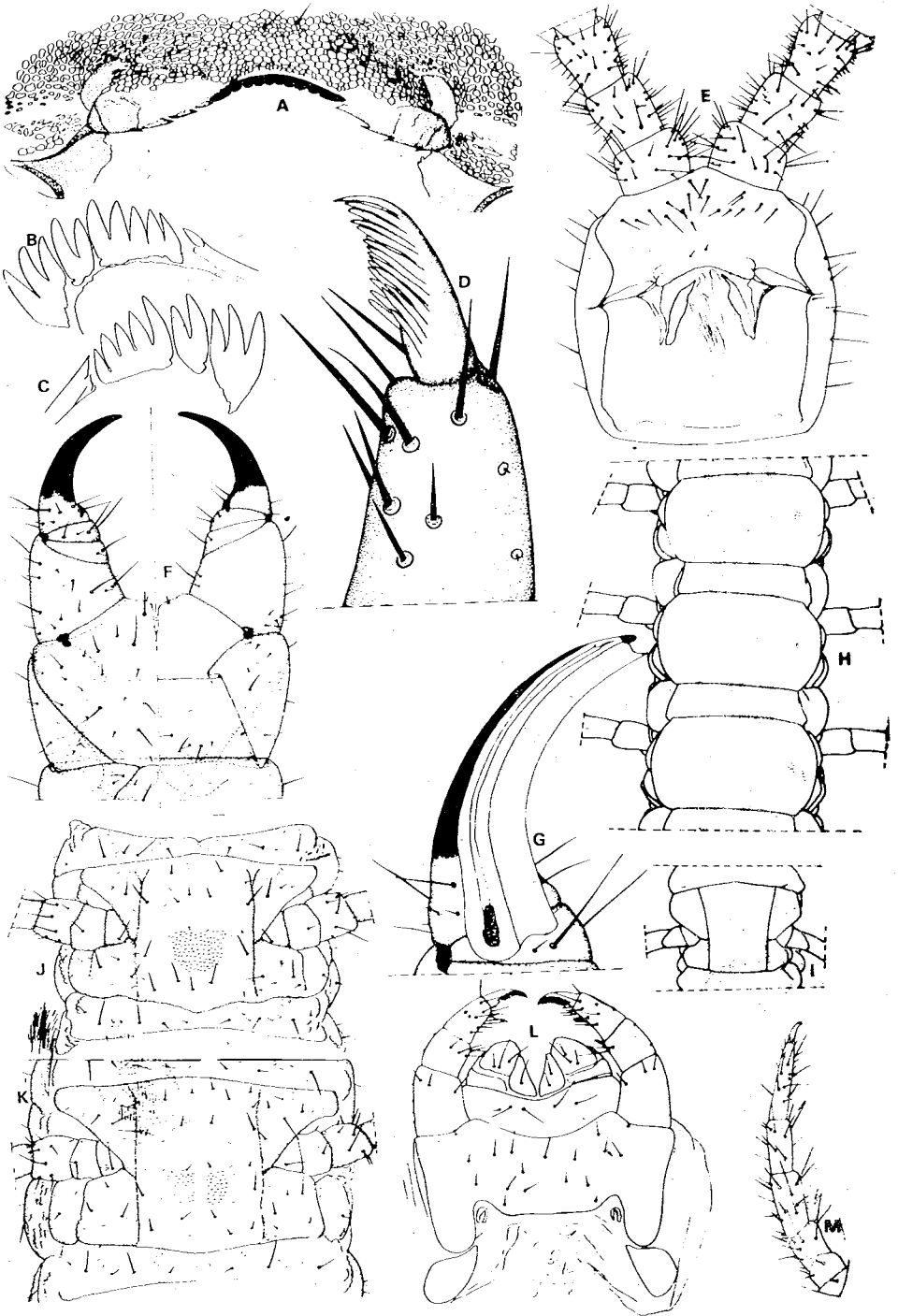
Gracias a la amabilidad del Dr. Smith del Field Museum, se ha podido disponer holotipo de esta especie, el cual está representando por el tronco fragmentado en 4 partes y conservado en un tubo con alcohol, faltando la cápsula cefálica y piezas bucales. Al ser éste el único material conocido de esta especie, se toman los datos referentes a la cabeza y demás piezas faltantes, directamente de la descripción original de Chamberlin.

#### *Redescripción:*

*Holotipo hembra:* aproximadamente 28 mm. de longitud, 1 mm. de ancho, 43 pares de patas.

---

Lámina IV. *Schendylurus elegantulus* (Meinert). ♀; A, labro; B y C, lamela dentada de las mandíbulas; D, vista ventral extremo telopodito izquierdo de las maxilas II; E, vista ventral de la cápsula cefálica y primeros artejos antenales; F, vista ventrodorsal del segmento forcipular; G, extremo telopodito forcipular derecho, mostrando cáliz de la glándula del veneno; H, vista dorsal de los segmentos 6°, 7° y 8°, mostrando la disposición de la "pigmentación" interna; I, vista ventral del segmento 46° mostrando la disposición de la "pigmentación" interna; J y K, vista ventral de los segmentos 10° y 18° respectivamente, mostrando la disposición de los poros; L, vista ventral de las maxilas I y II; M, vista ventroposterior de la pata derecha del 10° segmento pedal.



*Color:* segmento forcipular ocre anaranjado, resto del tronco amarillento.

*Placa cefálica:* ligeramente más larga que ancha, con bordes laterales suavemente convexos.

Labro con 13 dientes en el arco central y 4 en cada pieza lateral.

*Mandíbulas:* con lamela dentada dividida en 3 grupos de dientes, siendo la dentición 3-2-5.

*Segmento forcipular:* telopoditos con todos sus artejos inermes, cáliz de la glándula del veneno, de tipo lineal en la tarsíngula izquierda y en abanico en la derecha.

*Esternitos:* con poros presentes del 2º al penúltimo esternito, siendo todos los campos de poros simples. Algunos de los guarismos presentados por estos fueron los siguientes: 2º esternito: 48 poros, 5º: 79 y 10º: 110 poros (lám. 6, figs. B, C y D).

*Último segmento pedal:* esternito trapezoidal, con setas dispersas en toda su superficie, habiendo en el borde posterior un angosta franja de setas cortas. Coxopleuras sin elevación en su extremo ventroapical, presentando abundantes setas cortas en la región ventroapical interna, resto de la superficie llevando setas de tamaño variable. Cada coxopleura con 2 poros encubiertos por el esternito y que dan salida a las glándulas homogéneas, patas terminales de 7 artejos finos y con setas de distribución uniforme (lám. 6, fig. A), siendo el metatarso más largo que el tarso y llevando en su extremo apical un pequeño tubérculo munido de una seta de tamaño muy reducido.

*Segmentos terminales:* esternitos del segmento intermediario y genital I de borde posterior débilmente cóncavo, gonopodos uniarticulados y escotados en la línea media (lám. 6, fig. A).

*Material examinado:* holotipo ♀ de Río Paranay (probable error de transcripción por Río Paraná), Misiones, 20-IX-1926, Col. K.P. Smidt (FM).

*Observaciones:* Esta especie fue descrita por Chamberlin en el género *Pectiniunguis*, probablemente debido a un error de apreciación sobre las características de las glándulas coxales, las cuales son típicamente homogéneas, razón por la cual se la ubica aquí en el género *Schendylurus*, estableciéndose la nueva combinación correspondiente.

Se hace notar además, que Chamberlin indica en su descripción original que el límite posterior de los campos de poros es el antepenúltimo esternito, mientras que en realidad se extienden hasta el penúltimo de ellos.

*Schendylurus fieldi* se diferencia fácilmente del resto de las especies, por el hecho de presentar todas sus áreas de poros no divididas.

### *Schendylurus madariagensis* n. sp.

#### *Descripción:*

*Hembra:* largo máximo 27 mm, ancho máximo 0,7 mm. Número de segmentos pedales 47 ó 49 (número más frecuente 49, holotipo con igual número).

*Color:* cápsula cefálica, antenas y segmento forcipular ocre, resto del cuerpo amarillento.

*Antenas:* aproximadamente 3,6 veces el largo de la cápsula cefálica. Artejo basal algo más largo que ancho y con convexidad interna (lám. 6, fig. H), los restantes notoriamente más largos que anchos y afinándose hacia el ápice. Setas bien notorias y de tamaño variable, dispuestas irregularmente en los 3 primeros artejos basales, en los restantes, pelos cortos, cubriendo uniformemente la superficie, excepto los bordes basal y apical.

Último artejo con setas claviformes en los bordes externo e interno del tercio distal, extremidad apical con un grupo de alrededor de 8 setas muy pequeñas y trirramosas. Artejos 2º, 5º, 9º y 13º con un grupo de setas similares a las anteriores y presentes en las caras dorsal y ventral. Forma y disposición de la pilosidad de los artejos antenales de acuerdo a lámina 6, figura H.

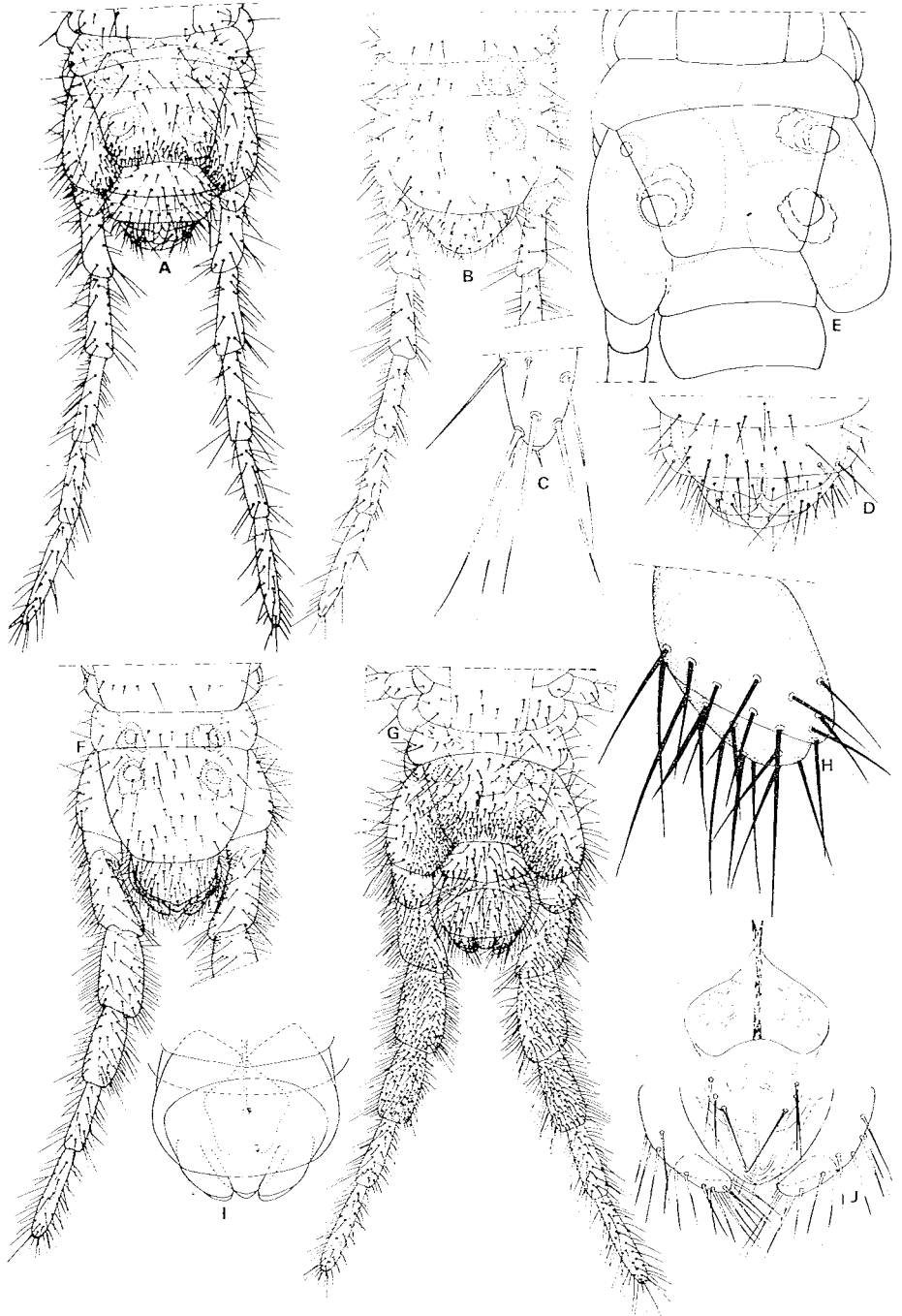


Lámina V. *Schendylurus elegantulus* (Meinert). A-D, ♀; (A, vista ventral último segmento pedal y segmentos postpedales; B, vista dorsal último segmento pedal y segmentos postpedales; C, vista ventral ápice último par de patas (izquierda); D, vista ventral, segmentos postpedales); E, paratipo ♀ (Ref. *Geophilus elegantulus* Meinert), vista ventral extremo posterior del cuerpo, mostrando las glándulas coxales (derechas teratológicas); F-J ♂; (F, vista dorsal último segmento pedal y segmentos postpedales; G, vista ventral, último segmento pedal y segmentos postpedales; H, vista ventral gonopodo derecho; I, vista ventral, segmentos postpedales (esquemático); J, vista dorsal del pene y gonopodos).

*Placa cefálica*: de forma subrectangular, ligeramente más larga que ancha.

*Placa prebasal*: visible en casi su totalidad.

*Clípeo*: con quetotaxia compuesta por 1 : 1 setas postantenas, una franja media transversal de alrededor de 8 + 8 setas y 1 + 1 setas prelabrales (lám. 6, fig. H).

*Labro*: arco medio compuesto por 14 dientes de ápice romo, piezas laterales llevando cada una 6-7 dientes de ápice muy aguzado (lám. 6, fig. N).

*Mandíbula*: con lamela dentada presentando dentición variable, pudiéndose encontrar los siguientes casos: 3-7, 3-8, 3-9, 3-2-5, 3-2-6, 3-3-5 (lám. 6, figs. F y G), lamela pectinada provista de alrededor de 16 a 19 dientes hialinos simples.

*Maxilas I*: coxosternum provisto de palpos y llevando 4 a 6 setas dispuestas según lámina 6, figura M. Prolongaciones medianas con 2 setas. Telopoditos biarticulados y provistos de palpos, 2º artejo con 2 a 3 setas en su cara externa y 4 a 5 poros en su cara interna (lám. 6, fig. M).

*Maxilas II*: coxosternum con alrededor de 15 + 15 setas dispuestas según lámina 6, figura M, garra apical del telopodito con un peine dorsal y ventral de alrededor de 19 dientes (lám. 6, fig. L). Forma, tamaño relativo y quetotaxia de los artejos del telopodito según lámina 6, figura M.

*Segmento forcipular*: placa basal con 8 a 10 setas ubicadas en una hilera transversal y otras más pequeñas dispuestas cerca del borde posterior. Telopoditos con todos sus artejos inermes, glándula del veneno con cáliz cilíndrico.

*Tergitos*: bisurcados, quetotaxia compuesta por 3-4 setas ubicadas en los surcos y otras diseminadas en el resto de su superficie.

*Pretergitos*: llevando una hilera transversal de alrededor de 7 setas.

*Patas*: con forma, quetotaxia y tamaño relativo de los artejos de acuerdo a lámina 7, figura A.

*Esternitos*: Área de poros presentes desde el 2º al antepenúltimo esternito (aunque un número reducido de ejemplares pueden presentar muy escasos poros en el primer o penúltimo esternito).

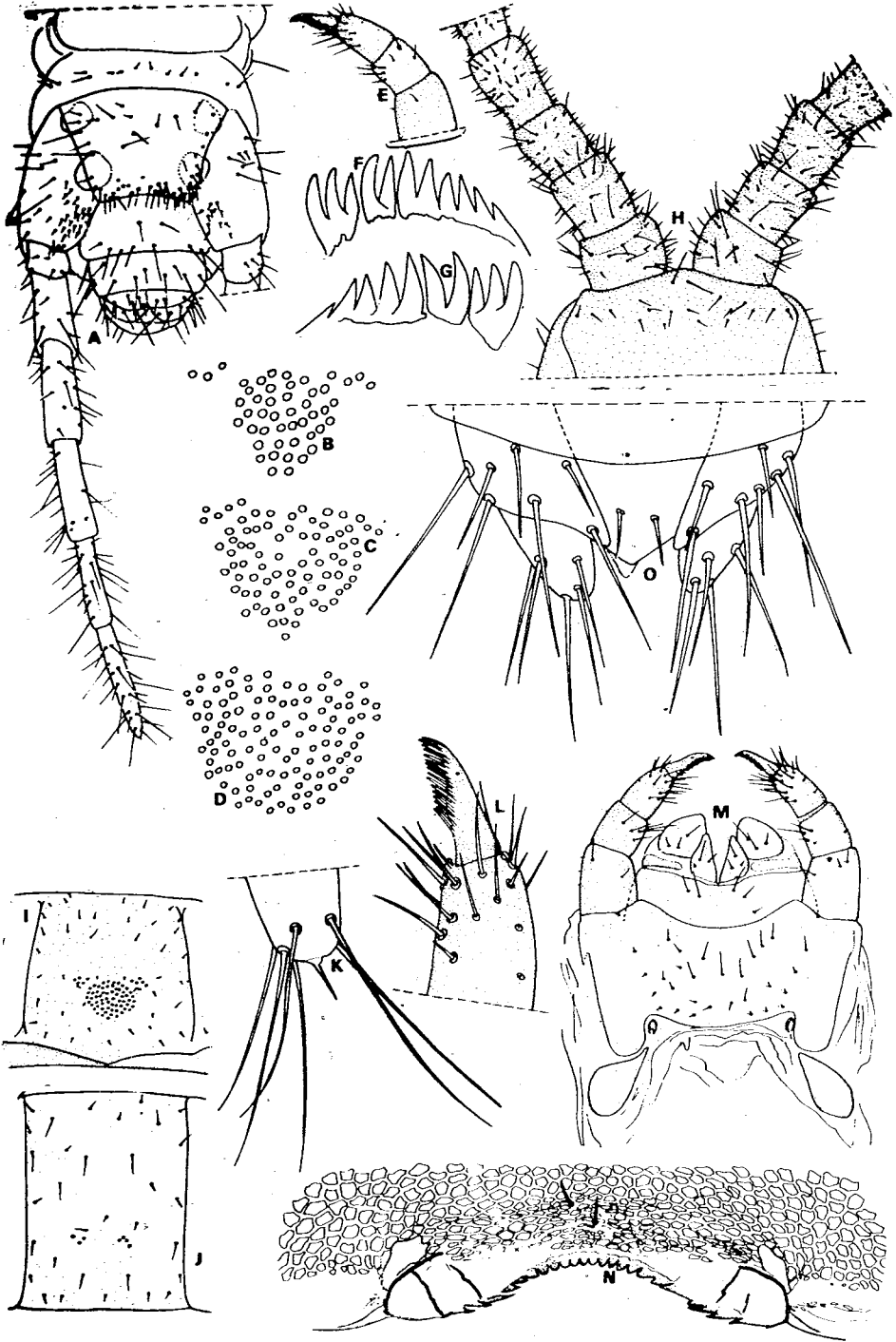
En una hembra de 49 pares de patas las áreas de poros se presentaron de la siguiente manera: simples del 2º al 18º esternitos, dobles del 19º al 44º esternitos y nuevamente simples del 45º al 47º esternitos. Las áreas de poros presentaron los siguientes guarismos: 2º esternito: 47 poros, 3º: 76, 16º: 73, 19º: 45, 41º: 16, 47º: 76. Quetotaxia de los esternitos y forma y tamaño relativo de las áreas de poros, de acuerdo a lámina 6, figuras I, J y 7 B, C y D.

*Ultimo segmento pedal*: pretergito con sutura visible entre sus pleuritos, preesternito de forma y quetotaxia muy semejante a los anteriores. Tergito y esternito trapezoidales, con base anterior más ancha que la longitud mediana, borde distal del tergito, presentando débil convexidad, borde posterior del esternito ligeramente cóncavo. Quetotaxia compuesta por setas pequeñas y de tamaño reducido acompañando el borde posterior y otras de mayor tamaño diseminadas en el resto de su superficie (lám. 7, figs. G y H). Coxopleuras de aspecto ligeramente inflado, ventralmente con abundantes pelos en el área apical interna y setas de mayor tamaño dispersas en el resto de su superficie (lám.

---

Lámina VI. *Schendylurus fieldi* (Chamberlin). A-D, holotipo ♀ (A, vista ventral del último segmento pedal y segmentos postpedales; B-D, campos de poros correspondientes a los esternitos 2º, 5º y 10º respectivamente). *Schendylurus mada-riagensis* n. sp. E-N, ♀; (E, vista dorsal, telopodito derecho de las maxilas II; F y G, lamela dentada de las mandíbulas; H, clípeo y primeros artejos antenas; I-J, esternitos correspondientes al 3º y 28º segmento pedal mostrando áreas de poros; K, vista ventral ápice última pata izquierda; L, vista ventral extremo del telopodito izquierdo de las maxilas II; M, vista ventral maxilas I y II; N, labro); O, ♂, vista ventral de los gonopodos.





7, fig. G). Cada coxopleura con un par de orificios glandulares encubiertos por el esternito, los cuales dan salida a las glándulas homogéneas. Última pata con 7 artejos, metatarso más largo que el tarso, pretarso a manera de un pequeño tubérculo difícilmente visible, del cual sale una pequeña seta inclinada. Quetotaxia compuesta por setas largas de distribución homogénea en las facies ventral y dorsal de los artejos (lám. 7, figs. G y H).

*Segmentos postpedales*: esternitos del segmento intermediario y genital I de borde posterior debilmente convexo. Gonopodos uniarticulados, chatos, relativamente anchos y escotados en la línea media. Forma y quetotaxia de los mismos según lámina 7, figura G.

*Macho*: largo máximo 25 mm, número de segmentos pedales de 45, 47 ó 49 (número más frecuente 47, alotipo con igual número). Coloración similar a la hembra, las diferencias morfológicas con la misma se observan a nivel de los segmentos postpedales y del último segmento pedal, el cual presenta patas formadas por artejos más gruesos y de pilosidad más abundante en la cara ventral del prefémur, fémur y tibia (lám. 7, figs. E y f). Esternito del segmento intermediario con borde posterior débilmente convexo o recto, esternito del segmento genital I con convexidad más marcada que en el anterior, gonopodos biarticulados y terminales, con artejo basal provisto de 12-13 setas, siendo internamente alargado y terminando en una punta que puede llevar una minúscula seta, artejo apical de borde redondeado llevando 6-7 setas (lám. 6, fig. O y lám. 7, figs. E y J). Pene dorsalmente con un grupo de 2 + 2 ó 3 + 3 setas ubicadas en su mitad distal (lám. 7, fig. I).

Los poros ventrales son algo menos numerosos que en la hembra, pudiendo inclusive faltar totalmente en algunos esternitos de la mitad posterior del tronco.

*Material examinado*: Buenos Aires: Gral. Madariaga, 17-VII-1974, Col. L.A. Pereira, holotipo ♀ y alotipo ♂ (MLP); 1 paratipo ♀ de 49 pares de patas, idem, (USNM); 1 paratipo ♂ de 47 pares de patas, idem, (USNM); 1 paratipo ♀ de 49 pares de patas, idem, (MNHN); 1 paratipo ♂ de 47 pares de patas, idem, (MNHN); 18 paratipos ♀♀ (1 de 47 y 17 de 49 pares de patas), idem, (MLP); 29 paratipos ♂♂ (1 de 45, 17 de 47 y 11 de 49 pares de patas), idem, (MLP).

*Observaciones*: se hace notar que el mayor grosor de los artejos del último par de patas del macho, acompañados de una pilosidad más abundante en la cara ventral del prefémur, fémur y tibia, es una característica de dimorfismo sexual.

Esta especie ha sido hallada en suelos relativamente sueltos y húmedos, hasta una profundidad de aproximadamente 30 cm, a orillas de la laguna Salada Grande, Prov. de Buenos Aires.

*Schendylurus madariagensis* n. sp. es bastante próxima a *Schendylurus elegantulus* Meinert), diferenciándose entre sí de la manera explicada en la redescrición de esta última y en la clave acompañante.

#### *Schendylurus mesopotamicus* n. sp.

##### *Descripción*:

*Hembra*: largo máximo 38 mm, ancho máximo 1 mm, 59 pares de patas.

*Color*: cápsula cefálica, antenas y segmento forcipular, ocre, resto del tronco amarillento.

*Antenas*: aproximadamente 3,7 veces más largas que la cápsula cefálica. Artejo basal algo más largo que ancho y con convexidad interna (lám. 8, fig. A), restantes notoriamente más largos que anchos y afinándose hacia el ápice. Setas bien notorias y de tamaño variable dispuestas irregularmente en los primeros 3-4 artejos, restantes con setas gradualmente más cortas y abundantes hacia el ápice. Último artejo con setas claviformes en los bordes interno y externo del cuarto distal. Extremidad apical, con un mechón de setas muy cortas y trirramosas, en número de 6 aproximadamente. Artejos 2º, 5º, 9º y

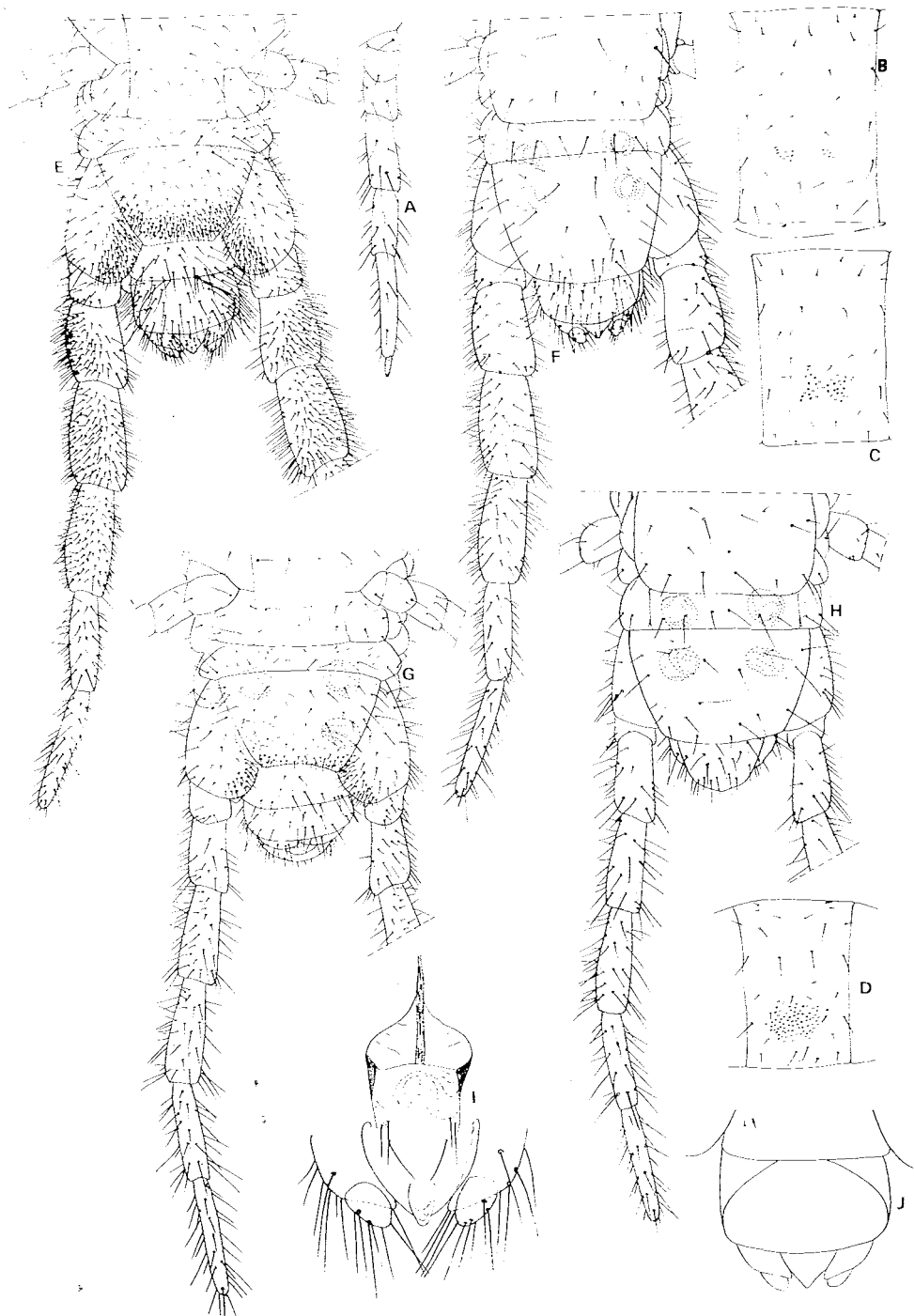


Lámina VII. *Schendylurus madariagensis* n. sp. A-D y G-H, ♀ (A, vista ventral, pata izquierda del 10° segmento pedal; B-D, esternitos correspondientes al 41°, 44° y 47° segmentos pedales respectivamente, mostrando áreas de poros; G, vista ventral último segmento pedal y segmentos postpedales; H, vista dorsal último segmento pedal y segmentos postpedales); E-F e I-J, ♂ ; (E, vista ventral, último segmento pedál y segmentos postpedales; F, vista dorsal último segmento pedal y segmentos postpedales; I, vista dorsal del pene y gonopodos; J, vista ventral de los segmentos postpedales (esquemático).

13° con un grupo dorsal y ventral de 1-5 setas muy pequeñas y similares a las anteriores.

*Placa cefálica*: subrectangular, ligeramente más larga que ancha.

*Placa prebasal*: visible en forma variable como lo habitual.

*Clípeo*: quetotaxia compuesta por 1 + 1 setas postantenas, una franja media transversal de alrededor de 12 + 12 setas y 1 + 1 setas prelabrales (lám. 8, fig. A).

*Labro*: arco medio constituido por 10-11 dientes de ápice romo, cada pieza lateral con 6-7 dientes de ápice muy aguzado (lám. 8, fig. B).

*Mandíbulas*: lamela dentada con dentición variable, siendo la más frecuente 3-3-5, 3-3-6 y 3-3-7 (lám. 8, figs. F y G).

*Maxilas I*: con palpos presentes en el coxosternum y telopoditos. Coxosternum con 3 + 3, 3 + 4 ó 4 + 4 setas, prolongaciones medianas del coxosternum con 2 ó 3 setas. Último artejo telopodítico con 4 ó 5 setas en su cara externa y 8-9 poros en su cara interna. Forma y quetotaxia de las maxilas I según lámina 8, figura E.

*Maxilas II*: coxosternum con alrededor de 18 + 18 setas distribuidas según lámina 8, figura E. Uña apical del telopodito con un peine dorsal y ventral de alrededor de 15-17 dientes (lám. 8, fig. C). Quetotaxia del coxosternum, forma, tamaño relativo y quetotaxia de los artejos telopodíticos de acuerdo a lámina 8, figs. D y E.

*Segmento forcipular*: placa basal provista de una hilera transversal de alrededor de 10 setas, llevando otras más pequeñas dispuestas cerca del borde posterior. Telopoditos con todos sus artejos inermes, borde interno del trocanteroprefémur estrechado apicalmente. Uña terminal bastante aguzada, glándula del veneno con cáliz de tipo lineal. Forma y quetotaxia del segmento forcipular de acuerdo a lámina 8, figura H.

*Tergitos*: bisurcados, con setas de tamaño variable dispersas en toda su superficie.

*Pretergitos*: con una hilera transversal de 6 setas y otras más pequeñas y escasas, diseminadas en el resto de su superficie.

*Esternitos*: con áreas de poros presentes desde el 1° al antepenúltimo esternito (penúltimo esternito raramente provisto de muy escasos poros). Las áreas de poros son simples del 1° al 18° - 20° esternitos, dobles del 19° - 21° al 52° - 54°, restantes esternitos con áreas simples.

Sobre un ejemplar se observó que las áreas de poros presentaban los siguientes guarimos: 1° esternito: 9 poros, 2°: 60, 6°: 125, 17°: 149, 19°: 123, 30°: 61, 54°: 73, 57°: 70. Quetotaxia de los esternitos y forma y tamaño relativo de las áreas de poros de acuerdo a lámina 8, figuras I, J, K, L, M, N, O y P.

*Último segmento pedal*: pretergito con suturas presentes entre sus pleuritos, preesternito no dividido al medio. Tergito y esternito trapezoidales, con base anterior más ancha que la longitud mediana. Borde distal del tergito, convexo, borde distal del esternito con suave concavidad. Tercio distal del esternito cubierto por numerosas setas cortas, resto de su superficie con setas de mayor tamaño distribuidas según lámina 9, figura B. Coxopleuras de aspecto ligeramente inflado, ventralmente con abundantes setas pequeñas en la región interna apical. Otras setas de mayor tamaño diseminadas en el resto de su superficie. Cada coxopleura con un par de orificios glandulares, encubiertos por el esternito, los cuales dan salida a las glándulas homogéneas (lám. 9, fig. B). Última pata de 7 artejos, metatarso algo más largo que el tarso, pretarso a manera de un pequeño tubérculo el cual lleva una diminuta seta. Forma, quetotaxia y tamaño relativo de los artejos según lámina 9, figuras A y B.

*Segmentos postpedales*: esternitos del segmento intermediario y genital I de borde posterior convexo, gonopodos uniarticulados, chatos, relativamente anchos y escotados en la línea media (lám. 9, fig. B).

*Macho*: largo máximo 31 mm, 55 ó 57 pares de patas (alotipo 57). Coloración similar a la hembra. Primeros 2-3 artejos antenales con setas proporcionalmente más pequeñas y algo más escasas que en la hembra. Las diferencias morfológicas con la misma se observan a nivel de los segmentos postpedales y del último par de patas, las cuales tienen artejos más anchos, llevando dorsal y ventralmente abundantes setas cortas, metatar-

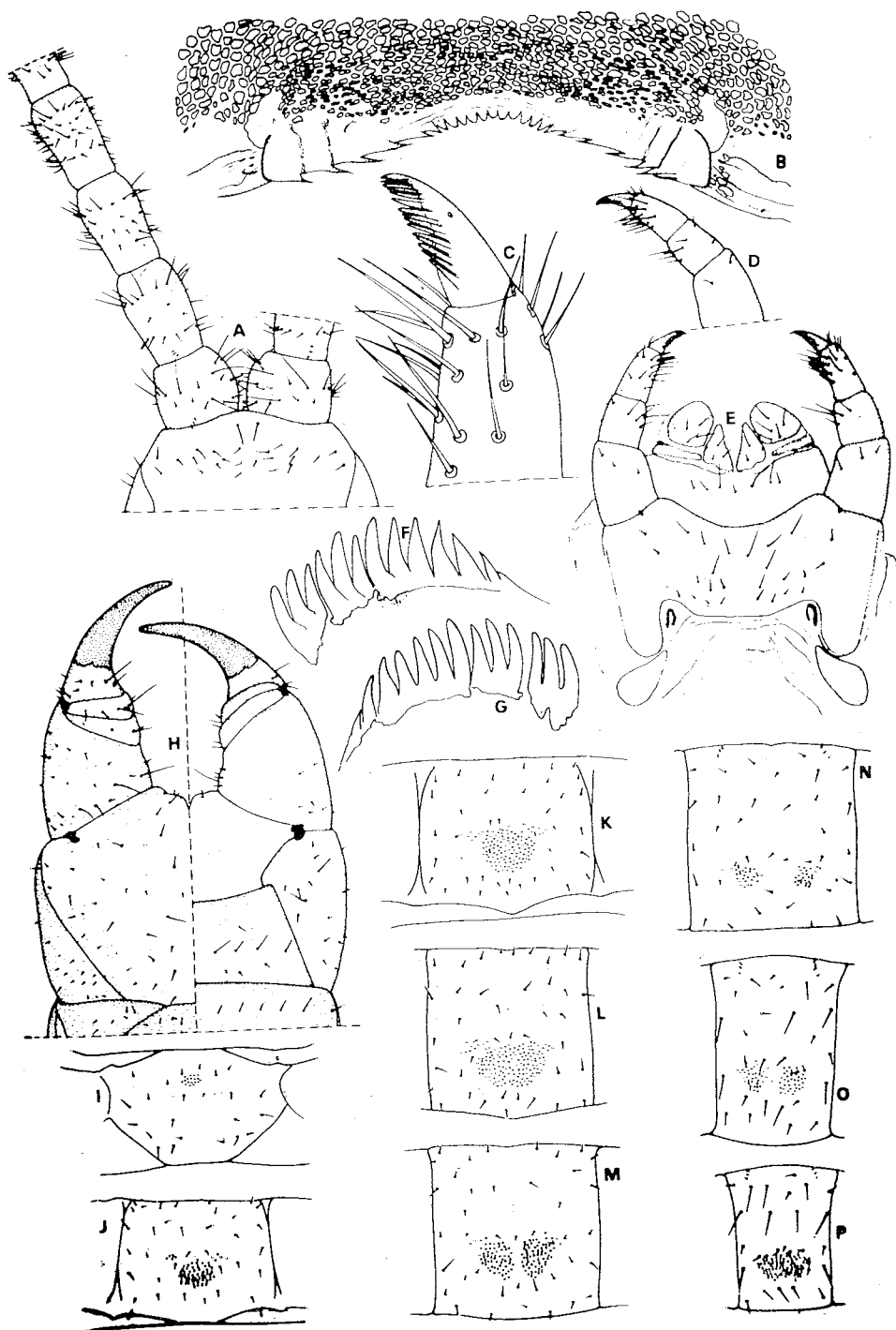


Lámina VIII. *Schendylurus mesopotamicus* n. sp. ♀; A, clípeo y primeros artejos antenales; B, labro; C, vista ventral extremo telopodito izquierdo, maxilas II; D, vista dorsal, telopodito derecho, maxilas II; E, vista ventral maxilas I y II; F y G, lamela dentada de las mandíbulas; H, vista ventrodorsal del segmento forcipular; I-P, esternitos correspondientes al 1º, 2º, 6º, 17º, 19º, 30º, 54º y 57º segmentos pedales respectivamente, mostrando áreas de poros.

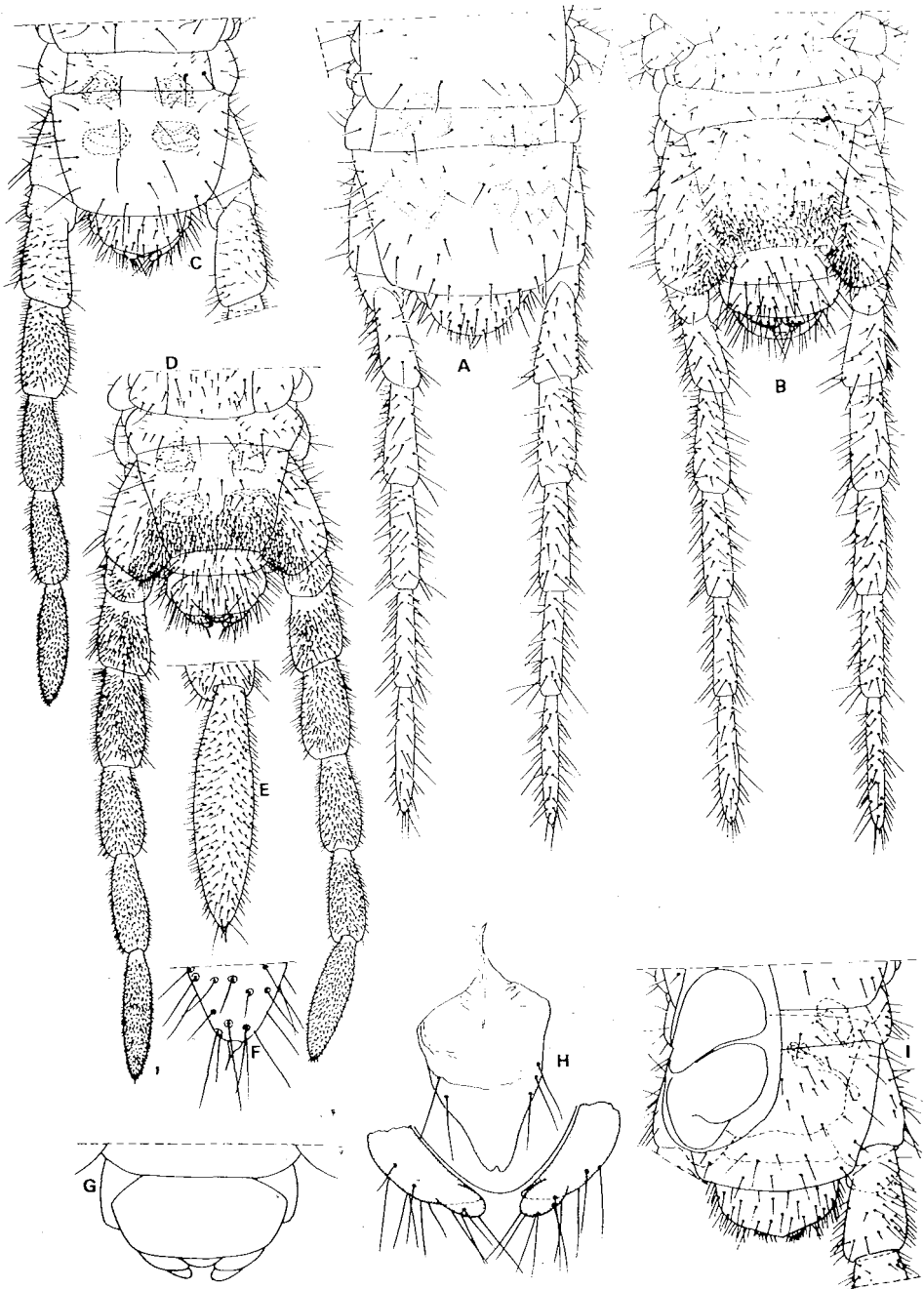


Lámina IX. *Schendylurus mesopotamicus* n. sp. A y B ♀; (A, vista dorsal último segmento pedal y segmentos postpedales; B, vista ventral, último segmento pedal y segmentos postpedales), C-H, ♂; (C; vista dorsal, último segmento pedal y segmentos postpedales; D, vista ventral, último segmento pedal y segmentos postpedales; E, vista ventral metatarso última pata derecha; F, detalle, vista ventral, ápice última pata (derecha); G, vista ventral, segmentos postpedales (esquemático); H, vista dorsal del pene y gonopodos; I, *Schendylurus pampeanus* (Pereira y Coscarón), ♂, vista dorsal extremo posterior del cuerpo, mostrando glándulas coxales.

so fusiforme (lám. 9, figs. C y D). Borde posterior del esternito del segmento intermedio, recto o con muy débil concavidad, esternito del segmento genital 1 con borde posterior suavemente convexo (lám. 9, fig. G). Gonopodos biarticulados, con artejo basal internamente alargado y provisto de alrededor de 10 setas, artejo apical de ápice redondeado y llevando 4-5 setas.

*Material examinado:* Entre Ríos: Concordia, 26-I-1976, Col. L.A. Pereira, holotipo ♀ y alotipo ♂ (MLP); 1 paratipo ♀ de 59 pares de patas (MLP); 4 paratipos ♂ (1 de 55 y 3 de 57 pares de patas), idem, (MLP); Misiones: Puerto Iguazú, 15-XI-1980, Col. L.A. Pereira, 1 paratipo ♀ de 59 pares de patas (USNM); 1 paratipo ♂ de 57 pares de patas, idem, (USNM); 1 paratipo ♀ de 59 pares de patas, idem, (MNHN); 1 paratipo ♂ de 57 pares de patas, idem, (MNHN).

*Observaciones:* esta especie se destaca de las del resto del género, por presentar en el macho el metatarso del último par de patas fusiforme (lám. 9, fig. E).

### **Schendylurus pampeanus** (Pereira y Coscarón) comb. nov.

1975-1976. *Pectiniunguis pampeanus* Pereira y Coscarón, *Rev. Soc. Ent. Arg.* 35 (1-4): 60-68, figs. 1 A-Q; 2 A-M y 3 A-H.

1980. *Schendylurus pampeanus* Pereira, Tesis (inérita), *Univ. Nac. La Plata, Fac. Cienc. Nat. y Museo* N° 387, figs. 40 C-D; 41 A-O y 42 A-D.

Esta especie ha sido extensamente tratada por sus autores, de manera que remitimos para la consulta de sus caracteres a la descripción original.

*Schendylurus pampeanus* fue descrita originalmente en el género *Pectiniunguis*, habiéndose basado su ubicación en dicho género, en el hecho de que las glándulas coxales posteriores no son típicamente homogéneas, siendo bilobuladas (lám. 9, fig. I). Pero debido a que las glándulas coxales anteriores son indiscutiblemente homogéneas y que las posteriores pueden ser consideradas más próximas a la morfología típica de una glándula homogénea que de una heterogénea, el autor de la presente contribución, considera de que el género *Schendylurus* es más adecuado para la recepción de esta especie, ubicándosela aquí en el mismo y estableciéndose la nueva combinación correspondiente.

*Aclaración sobre las abreviaturas de instituciones:* Las siglas FM, MLP, MNHN, USNM y ZMK corresponden respectivamente a el Field Museum de Chicago, al Museo de La Plata, al Muséum d'Histoire Naturelle de París, al National Museum of Natural History, Smithsonian Institution de Washington y al Zoologisk Museum de København.

**SUMMARY:** *Studies on neotropical Geophilomorpha IV. On four new species of the genus Schendylurus Silvestri, 1907. (Chilopoda: Geophilomorpha: Schendylidae).*

The new species: *Schendylurus anamariae* from E. Ríos Province, *Schendylurus demangei* from Chubut Province, *Schendylurus madariagensis* from Buenos Aires Province and *Schendylurus mesopotamicus* from E. Ríos and Misiones Provinces, are described and illustrated. Three new combinations: *Geophilus elegantulus* Meinert to *Schendylurus elegantulus* (Meinert), *Pectiniunguis fieldi* Chamberlin, to *Schendylurus fieldi* (Chamberlin), *Pectiniunguis pampeanus* Pereira y Coscarón to *Schendylurus pampeanus* (Pereira y Coscarón) and a key for all argentine species of the genus *Schendylurus* are also given.

## BIBLIOGRAFIA

- ATTEMS, C., 1903. Synopsis der Geophiliden. *Zool. Jahrb. Syst.* 18: 155-302.  
1929. Myriapoda. I. Geophilomorpha. *Das Tierreich*, Lief. 52, XXIII + 388 pp., 307 figs.
- BROLEMANN, H. W. y RIBAUT, H., 1912. Essai d'une monographie des Schendylina (Myriapodes, Géophilomorphes). *Nouv. Arch. Mus. Hist. Nat. Paris*, Ser. 5, 4: 53-183, 11 pls.
- CHAMBERLIN, R. V., 1944. Chilopods in the collection of Field Museum of Natural History. *Field Mus. Nat. Hist. Zool. Ser.* 28 (4): 175-216, 5 pls.
- MEINERT, F., 1884-1886. Myriapoda Musei Havniensis; III. Chilopoda. *Vidensk. Meddel Naturh. Foren.*, Kjöbenhavn pp. 100-150.
- PEREIRA, L. A. y COSCARON, S., 1975-1976. Estudios sobre Geofilomorfos neotropicales I. Sobre dos especies nuevas del género *Pectiniunguis* Bollman (Schendylidae-Chilopoda). *Rev. Soc. Ent. Arg.*, 35 (1-4): 59-75, 7 figs.
- PEREIRA, L. A., 1980. Contribución al conocimiento de los Geofilomorfos neotropicales, (Chilopoda). Tesis, (inédita), *Univ. Nac. La Plata, Fac. Cienc. Nat. y Museo*, N° 387, 202 pp., 65 pls.